

傅里叶级数与傅里叶变换的关系 (重点中的重点) :

傅里叶级数

$$f(t) = \sum_{n=-\infty}^{+\infty} F_n e^{jn\omega_1 t}$$

$$F_n = \frac{1}{T_1} \int_{-T_1/2}^{T_1/2} f(t) e^{-jn\omega_1 t} dt$$

频谱 (离散)

$$F_n = |F_n| e^{j\varphi_n}$$

在一个周期内满足狄里赫利条件

傅里叶变换

$$f(t) = \frac{1}{2\pi} \int_{-\infty}^{+\infty} F(\omega) e^{j\omega t} d\omega$$

$$F_n = \frac{1}{T_1} F_0(\omega) \Big|_{\omega=n\omega_1}$$

$$F(\omega) = \int_{-\infty}^{+\infty} f(t) e^{-j\omega t} dt$$

← 量纲不同 →

频谱密度 (连续)

$$F(\omega) = |F(\omega)| e^{j\varphi(\omega)}$$

在 $(-\infty, +\infty)$ 内满足狄里赫利条件

3.8 卷积特性

(1) 时域卷积定理——时域卷积，频域相乘

若 $F_1(j\omega) = \mathcal{F}[f_1(t)]$, $F_2(j\omega) = \mathcal{F}[f_2(t)]$,

则 $\mathcal{F}[f_1(t) * f_2(t)] = F_1(j\omega) \cdot F_2(j\omega)$

(2) 频域卷积定理——时域相乘，频域卷积（注意要乘以 $1/2\pi$ ）

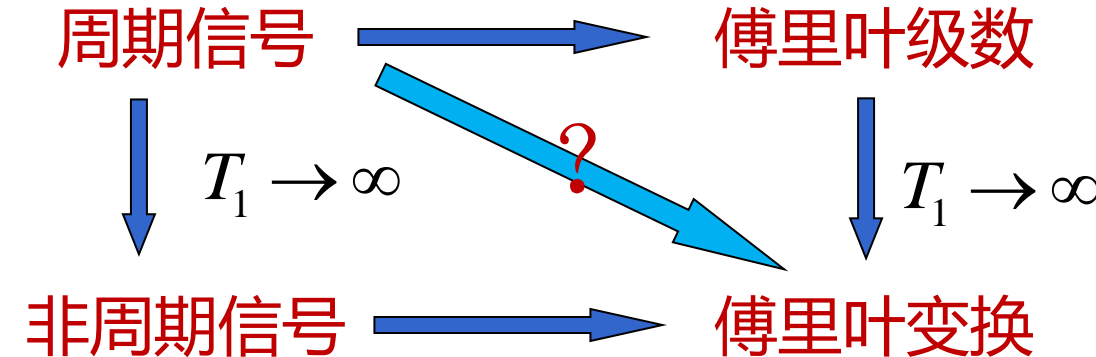
若 $F_1(j\omega) = \mathcal{F}[f_1(t)]$, $F_2(j\omega) = \mathcal{F}[f_2(t)]$,

则 $\mathcal{F}[f_1(t) \cdot f_2(t)] = \frac{1}{2\pi} F_1(j\omega) * F_2(j\omega)$

其中： $F_1(j\omega) * F_2(j\omega) = \int_{-\infty}^{\infty} F_1(ju) F_2[j(\omega - u)] du$



3.9 周期信号的傅里叶变换



3.9.1 正弦、余弦信号的傅里叶变换

$$\mathcal{F}[\cos \omega_0 t] = \pi[\delta(\omega + \omega_0) + \delta(\omega - \omega_0)]$$

$$\mathcal{F}[\sin \omega_0 t] = j\pi[\delta(\omega + \omega_0) - \delta(\omega - \omega_0)]$$

$$\mathcal{F}[e^{j\omega_0 t}] = 2\pi\delta(\omega - \omega_0)$$

3.9.2 一般周期信号的傅里叶变换

令周期信号 $f(t)$ 的周期为 T_1 , 角频率为 $\omega_1 = 2\pi f_1 = 2\pi / T_1$ 。它的傅里叶级数为

$$f(t) = \sum_{n=-\infty}^{\infty} F_n e^{jn\omega_1 t} \quad (1)$$

其中: $F_n = \frac{1}{T_1} \int_{-T_1/2}^{T_1/2} f(t) e^{-jn\omega_1 t} dt$ 或: $F_n = \frac{1}{T_1} F_0(j\omega)|_{\omega=n\omega_1}$

对式 (1) 两边取傅里叶变换

$$F(j\omega) = \mathcal{F}[f(t)] = \mathcal{F}\left[\sum_{n=-\infty}^{\infty} F_n e^{jn\omega_1 t}\right] = \sum_{n=-\infty}^{\infty} F_n \boxed{\mathcal{F}[e^{jn\omega_1 t}]} = 2\pi \sum_{n=-\infty}^{\infty} F_n \delta(\omega - n\omega_1)$$

即: $F(j\omega) = 2\pi \sum_{n=-\infty}^{\infty} F_n \delta(\omega - n\omega_1)$

周期信号 $f(t)$ 的傅里叶变换是由一系列冲激函数所组成的，这些冲激位于信号的谐频 ($0, \pm\omega_1, \pm 2\omega_1, \dots$) 处，每个冲激的强度等于 $f(t)$ 傅里叶级数相应系数 F_n 的 2π 倍。

周期信号傅里叶变换的两种求法 (重点中的重点)

思路1：

$$f_{T_1}(t) = \sum_{n=-\infty}^{\infty} F_n e^{jn\omega_1 t} \Leftrightarrow F_{T_1}(j\omega) = 2\pi \sum_{n=-\infty}^{\infty} F_n \delta(\omega - n\omega_1)$$

傅里叶级数和傅里叶变换的关系

$$F_n = \frac{1}{T_1} F_0(j\omega) \Big|_{\omega=n\omega_1}$$

思路2：

$$f_{T_1}(t) = \delta_{T_1}(t) * f_0(t) \Leftrightarrow F_{T_1}(j\omega) = \omega_1 \delta_{\omega_1}(\omega) F_0(j\omega) = \omega_1 \sum_{n=-\infty}^{\infty} F_0(jn\omega_1) \delta(\omega - n\omega_1)$$

时域卷积，频域相乘，冲激函数的筛选特性

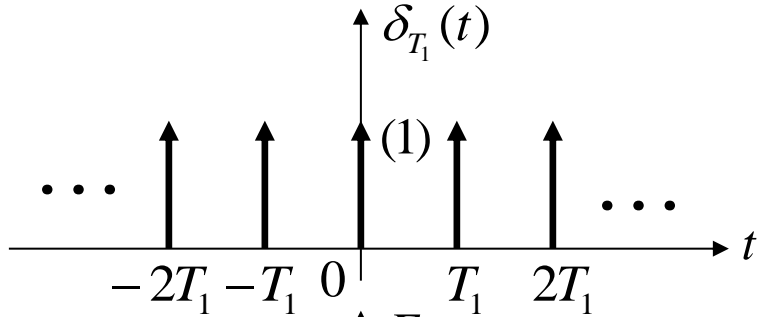
结论：

周期信号 $f_{T_1}(t)$ 的频谱由冲激函数组成：

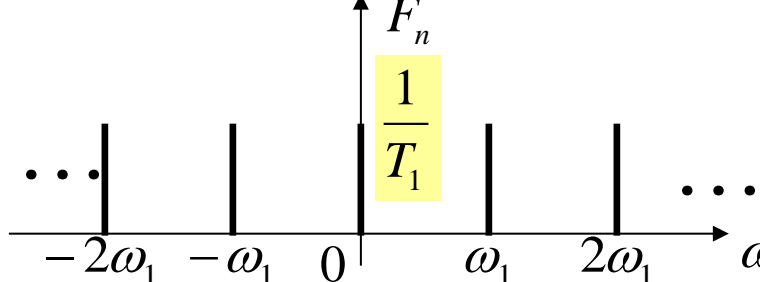
位置—— $\omega = n\omega_1$ (谐波频率点处)

强度—— $2\pi F_n$ 或 $\omega_1 F_0(jn\omega_1)$

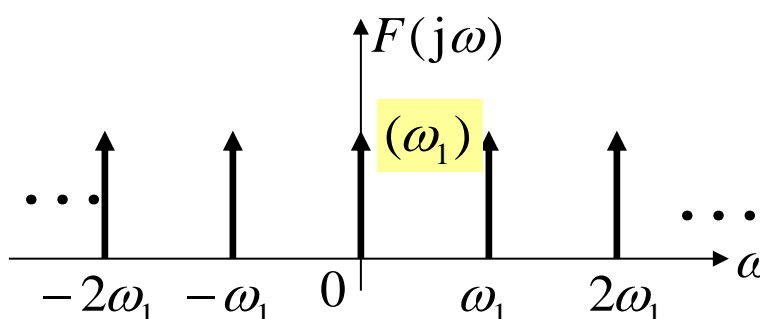
例3-18：求周期单位冲激序列的傅里叶级数与傅里叶变换。



$$\delta_{T_1}(t) = \sum_{n=-\infty}^{\infty} \delta(t - nT_1)$$



$$F_n = \frac{1}{T_1} \int_{-T_1/2}^{T_1/2} \delta_{T_1}(t) e^{-jn\omega_1 t} dt = \frac{1}{T_1} \Rightarrow \delta_{T_1}(t) = \sum_{n=-\infty}^{\infty} F_n e^{jn\omega_1 t} = \frac{1}{T_1} \sum_{n=-\infty}^{\infty} e^{jn\omega_1 t}$$



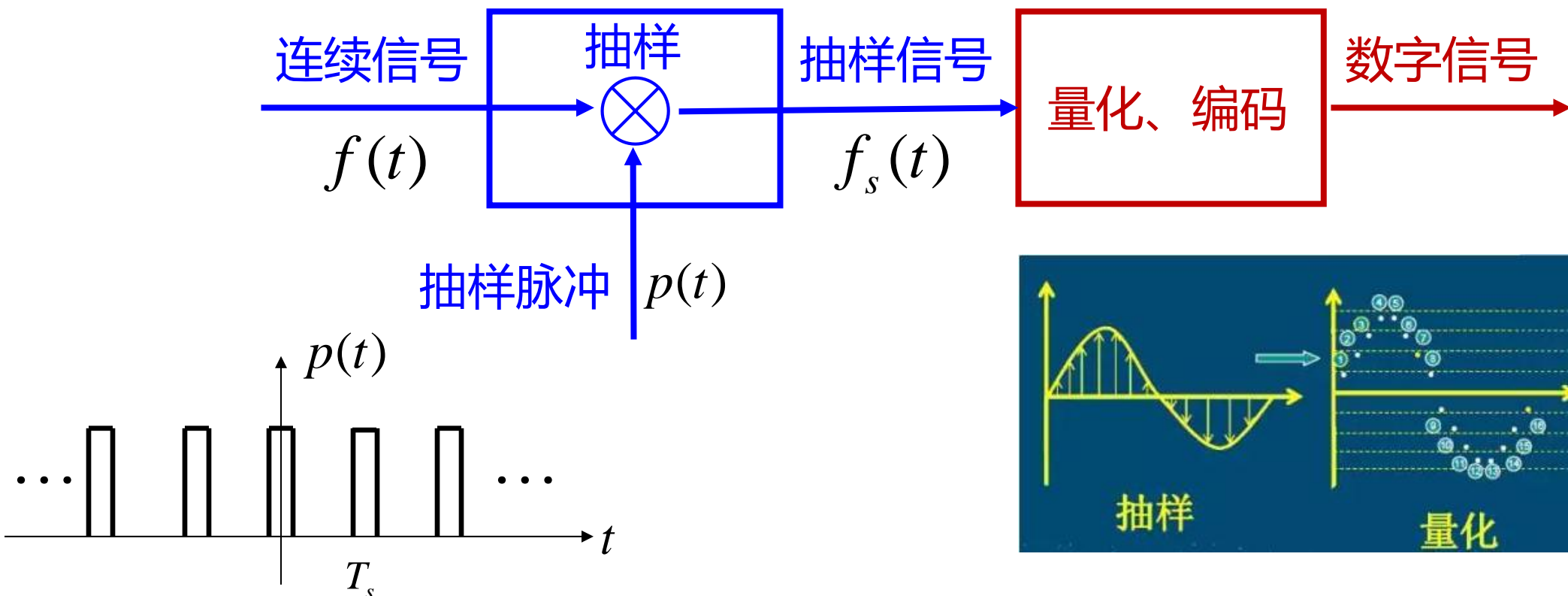
$$F(j\omega) = 2\pi \sum_{n=-\infty}^{\infty} F_n \cdot \delta(\omega - n\omega_1) = \omega_1 \sum_{n=-\infty}^{\infty} \delta(\omega - n\omega_1)$$

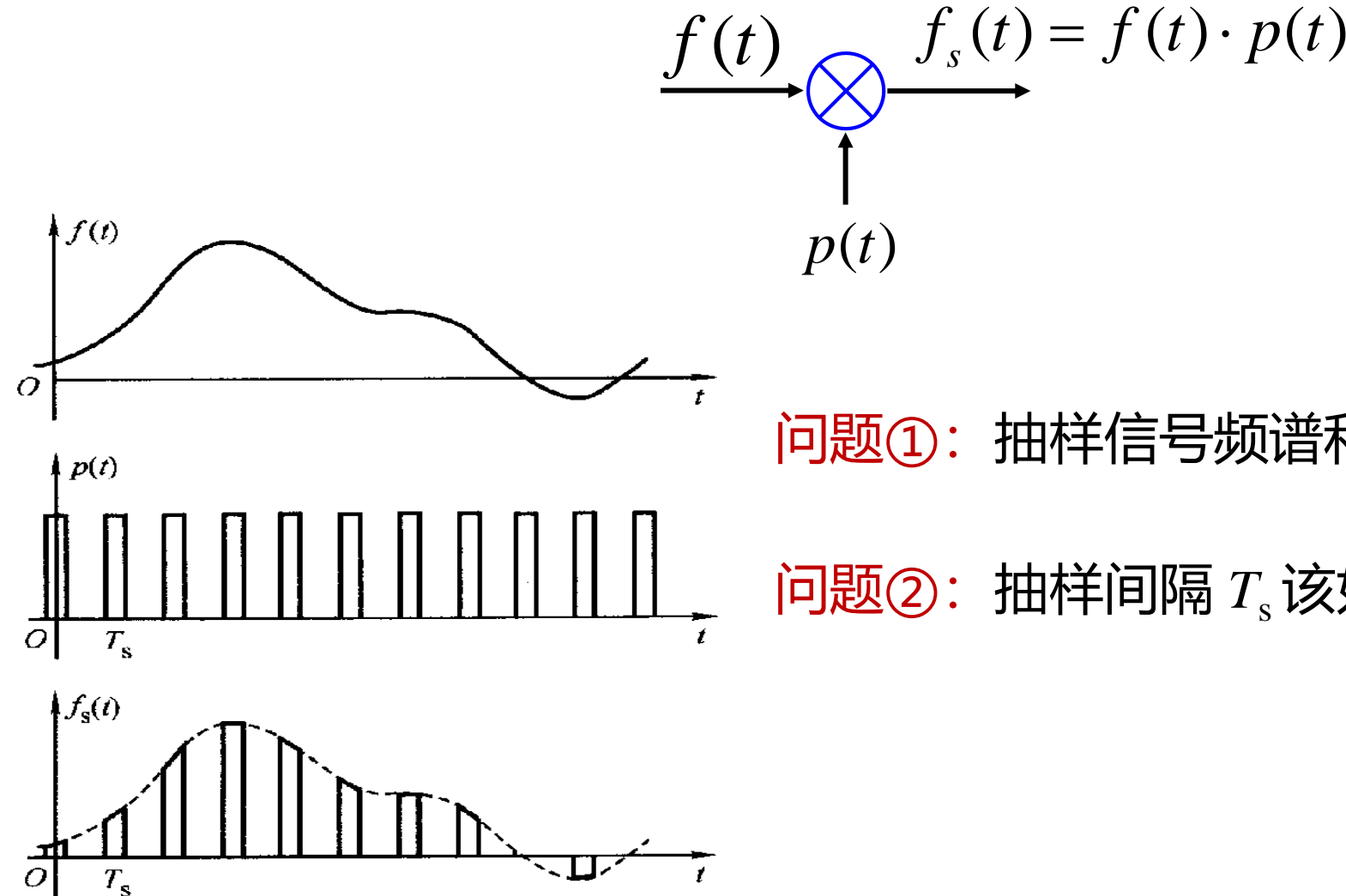
只有幅度发生变化 $\omega_1 = \frac{2\pi}{T_1}$

3.10.1 信号的抽样

定义：“**抽样**”就是利用抽样脉冲序列 $p(t)$ 从连续信号 $f(t)$ 中“抽取”一系列离散样值的过程；将得到的离散信号称为“抽样信号” $f_s(t)$

抽样过程方框图





问题①：抽样信号频谱和连续信号频谱的关系？

问题②：抽样间隔 T_s 该如何选取，才能恢复原始信号？

3.10.2 抽样信号的傅里叶变换

连续信号 $f(t) \leftrightarrow F(j\omega)$

抽样脉冲 $p(t) \leftrightarrow P(j\omega)$

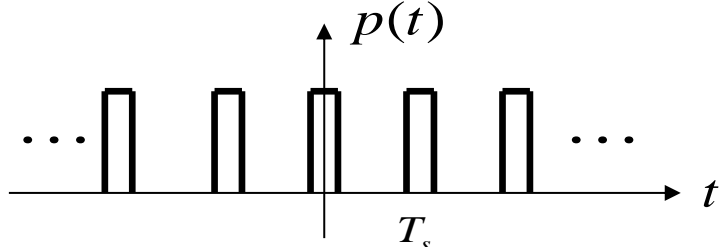
抽样信号 $f_s(t) \leftrightarrow F_s(j\omega)$

时域: $f_s(t) = f(t) \cdot p(t)$

根据频域卷积定理, 抽样信号的频谱:

$$\begin{aligned}
 F_s(j\omega) &= \frac{1}{2\pi} F(j\omega) * P(j\omega) = \frac{1}{2\pi} F(j\omega) * 2\pi \sum_{n=-\infty}^{\infty} P_n \delta(\omega - n\omega_s) \\
 &= \sum_{n=-\infty}^{\infty} P_n \cdot F[j(\omega - n\omega_s)] \quad \rightarrow \text{抽样信号的频谱是周期延拓的}
 \end{aligned}$$

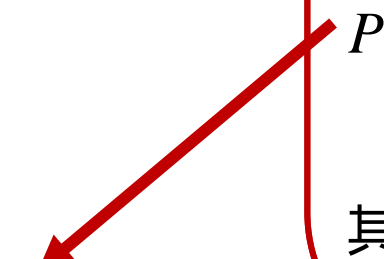
抽样脉冲的频谱



$$\omega_s = \frac{2\pi}{T_s} \quad \text{——抽样角频率}$$

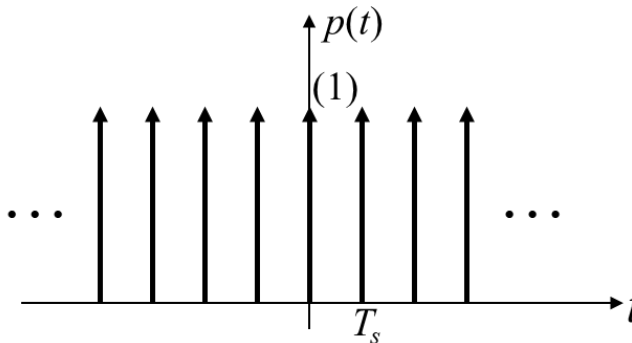
$$P(j\omega) = 2\pi \sum_{n=-\infty}^{\infty} P_n \delta(\omega - n\omega_s)$$

$$\text{其中: } P_n = \frac{1}{T_s} \int_{-\frac{T_s}{2}}^{\frac{T_s}{2}} p(t) e^{-jn\omega_s t} dt$$



❖ 冲激抽样 (理想抽样)

若抽样脉冲 $p(t)$ 是冲激序列 $p(t) = \delta_{T_s}(t) = \sum_{n=-\infty}^{\infty} \delta(t - nT_s)$



$$P_n = \frac{1}{T_s} \int_{-\frac{T_s}{2}}^{\frac{T_s}{2}} \delta(t) e^{-jn\omega_s t} dt = \frac{1}{T_s}$$

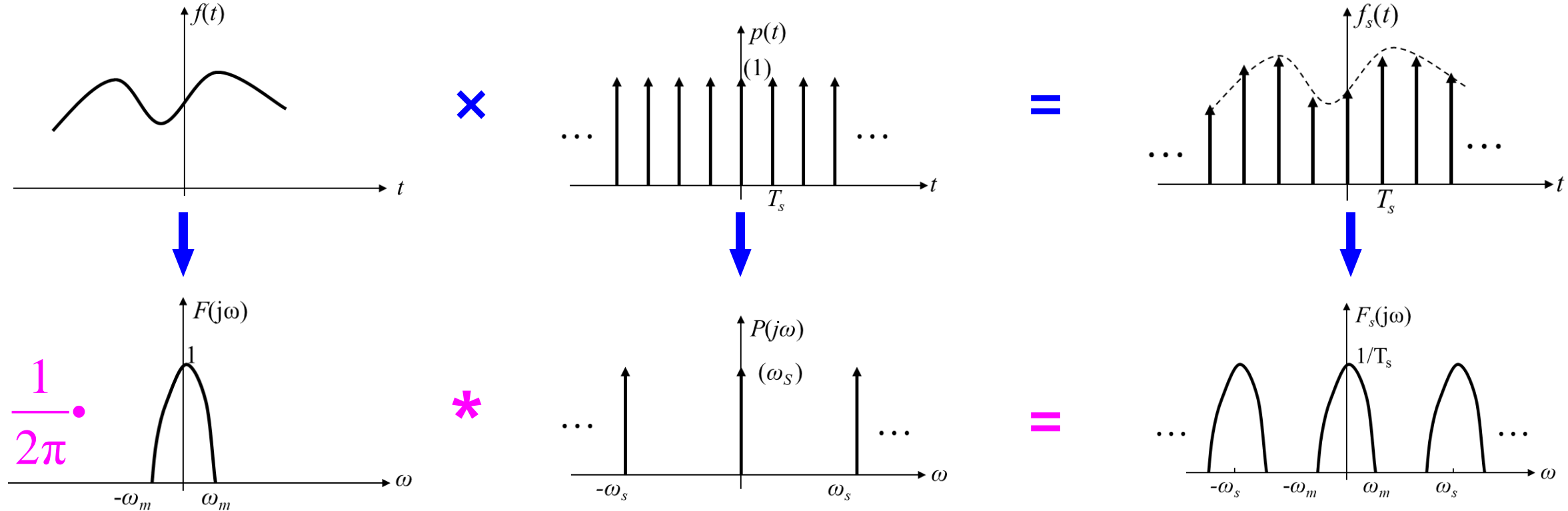
代入上一页的公式

$$F_s(j\omega) = \sum_{n=-\infty}^{\infty} P_n \cdot F[j(\omega - n\omega_s)] = \frac{1}{T_s} \sum_{n=-\infty}^{\infty} F[j(\omega - n\omega_s)]$$

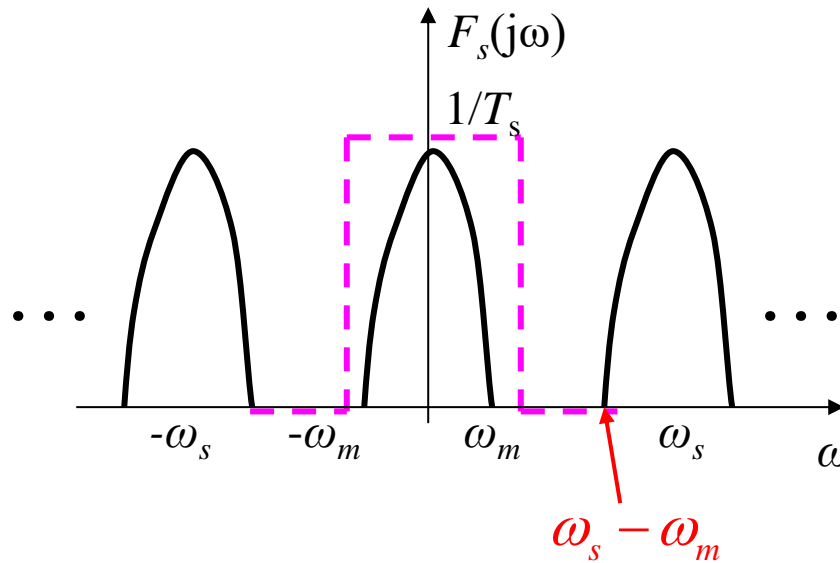
问题①的标准答案：

冲激序列抽样后的信号频谱 $F_s(j\omega)$ 是原始信号频谱 $F(j\omega)$ 以 ω_s 为周期的重复，且幅度上乘以抽样周期的倒数 $1/T_s$ 。

冲激抽样 (理想抽样)

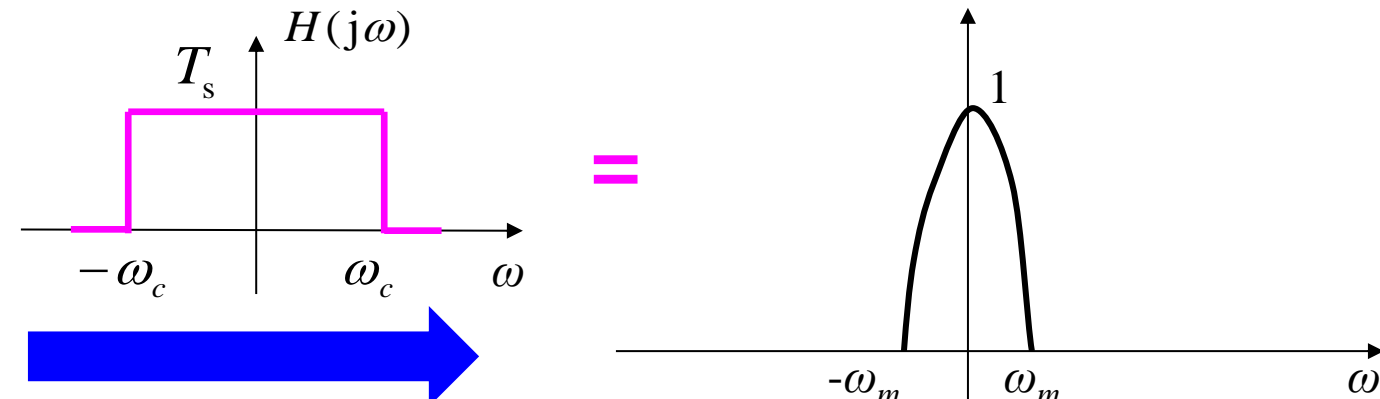


抽样信号的频谱



$$H(j\omega) = \begin{cases} T_s & (|\omega| \leq \omega_c) \\ 0 & (|\omega| > \omega_c) \end{cases}$$

原连续信号的频谱



只有满足 $\omega_s \geq 2\omega_m$, $F_s(j\omega)$ 才不会产生频谱混叠, 即 $f_s(t)$ 保留了原连续信号的全部信息

这时只要将 $f_s(t)$ 施加于 “理想低通滤波器”, 保证 $\omega_m \leq \omega_c \leq \omega_s - \omega_m$ 就可恢复原信号

问题②的标准答案：

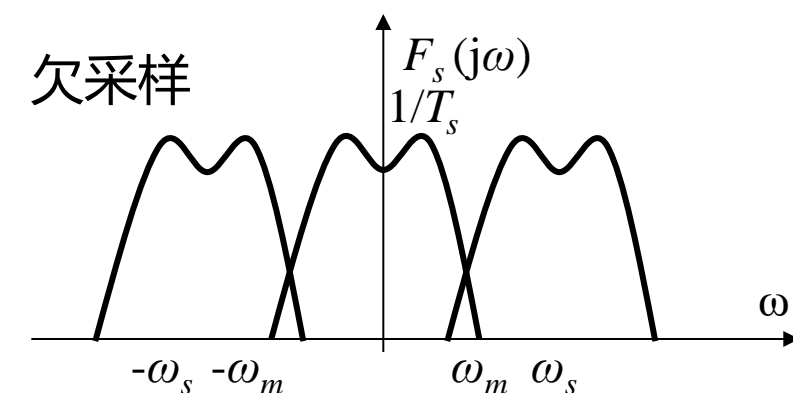
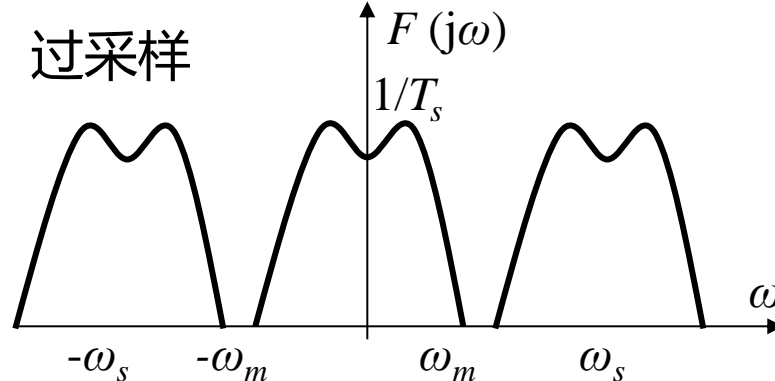
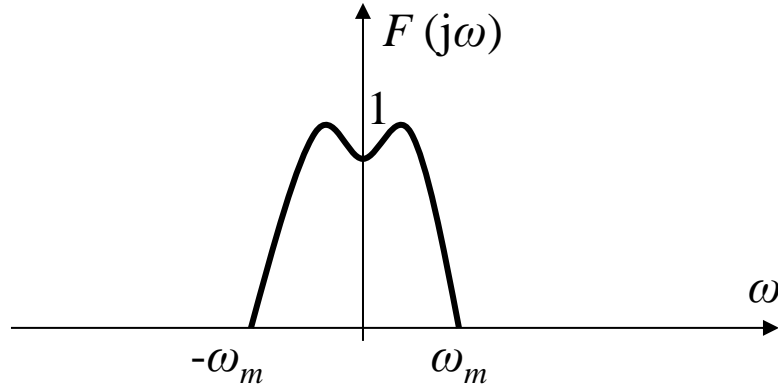
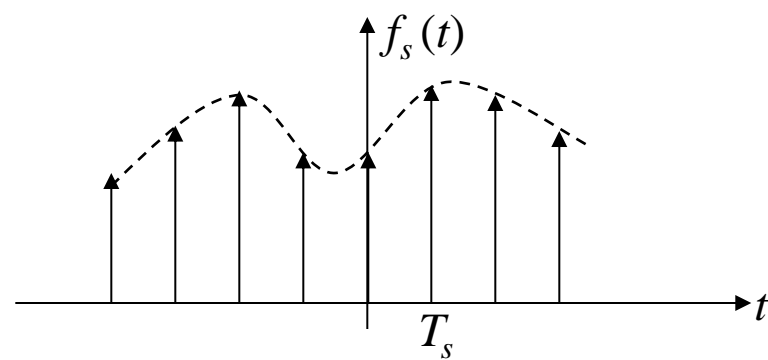
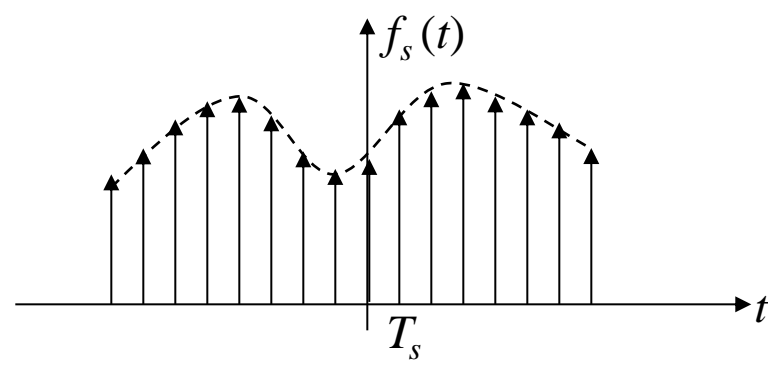
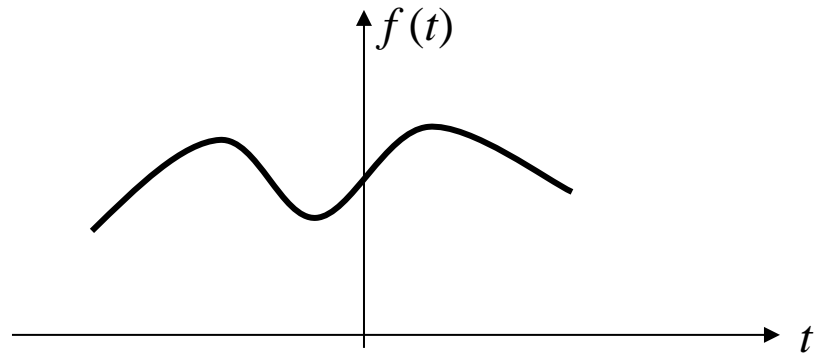
时域抽样定理：一个频谱在区间 $(-\omega_m, \omega_m)$ 以外为 0 的**带限信号 $f(t)$** ，可唯一的用等间隔 T_s ($T_s \leq 2\pi/2\omega_m$) 上的抽样值确定。

通常，把最低允许的抽样频率称为**奈奎斯特抽样频率**——

$$f_{s \min} = 2f_m = \frac{\omega_m}{\pi}$$

把最大允许的抽样间隔称为**奈奎斯特抽样间隔**——

$$T_{s \max} = \frac{1}{f_{s \min}} = \frac{1}{2f_m} = \frac{\pi}{\omega_m}$$



❖总结抽样定理

时域抽样定理：一个频谱受限的信号 $f(t)$ ，如果频谱只占据 $-\omega_m \sim +\omega_m$ 的范围，则信号 $f(t)$ 可以用等间隔的抽样值 $f_s(t)$ 唯一表示。抽样间隔必须不大于 $\frac{1}{2f_m}$ ，或者说最低抽样频率为 $2f_m$ 。

思考：实际应用中如何制造频域有限的信号？

频域抽样定理：若信号 $f(t)$ 是时间受限信号，它集中在 $-t_m \sim +t_m$ 的时间范围内，若在频域中以不大于 $\frac{1}{2t_m}$ 的频率间隔对 $f(t)$ 的频谱 $F(\omega)$ 进行抽样，则抽样后的频谱 $F_s(\omega)$ 可以唯一的表示原信号。

例3-21. 若 $f(t)$ 的最高角频率为 ω_m ，则对 $f(t/4)$ 取样的最大间隔为

A

$$\frac{\pi}{\omega_m}$$

B

$$\frac{2\pi}{\omega_m}$$

C

$$\frac{4\pi}{\omega_m}$$

D

$$\frac{8\pi}{\omega_m}$$

提交

例3-21. 若 $f(t)$ 的最高角频率为 ω_m ，则对 $f(t/4)$ 抽样的奈奎斯特间隔为？

解：根据傅里叶变换的尺度变换特性可得信号 $f(t/4)$ 的最高角频率为 $\omega_m/4$ ，再根据时域抽样定理，可得

$$\omega_s \geq 2 \cdot \frac{\omega_m}{4} = \frac{\omega_m}{2}$$

频谱不混叠的奈奎斯特间隔

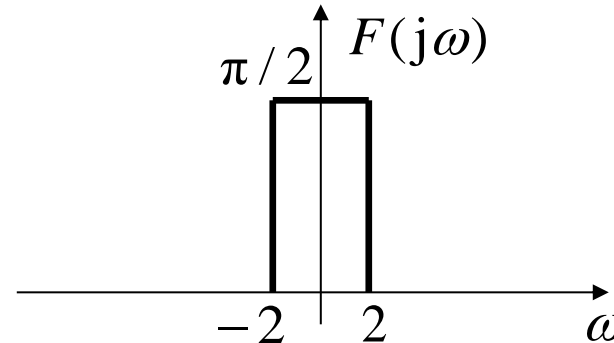
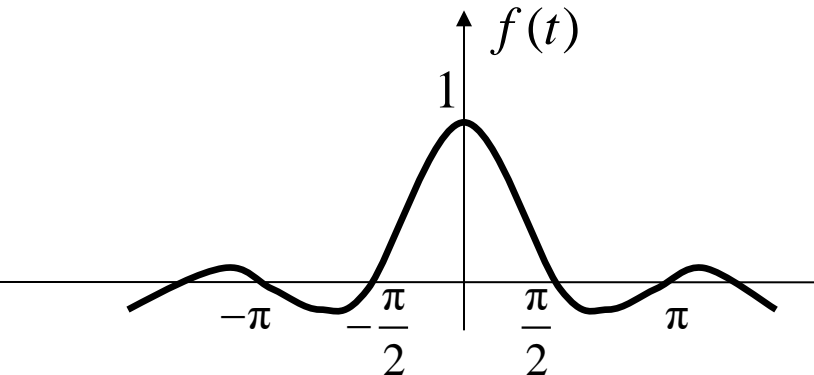
$$T_s \leq \frac{2\pi}{\omega_s} = \frac{4\pi}{\omega_m}$$

例3-22: 已知信号 $f(t) = \text{Sa}(2t)$, 用 $\delta_{T_s}(t) = \sum_{n=-\infty}^{\infty} \delta(t - nT_s)$ 对其进行抽样,

- (1) 确定奈奎斯特抽样频率;
- (2) 若取 $\omega_s = 6\omega_m$, 求抽样信号 $f_s(t) = f(t)\delta_{T_s}(t)$, 并画出波形图;
- (3) 求 $F_s(j\omega) = \mathcal{F}[f_s(t)]$, 并画出频谱图;
- (4) 确定低通滤波器的截止频率 ω_c 。

解: (1) $\because f(t) = \text{Sa}(2t)$

$$\therefore F(j\omega) = \frac{\pi}{2} [u(\omega + 2) - u(\omega - 2)]$$

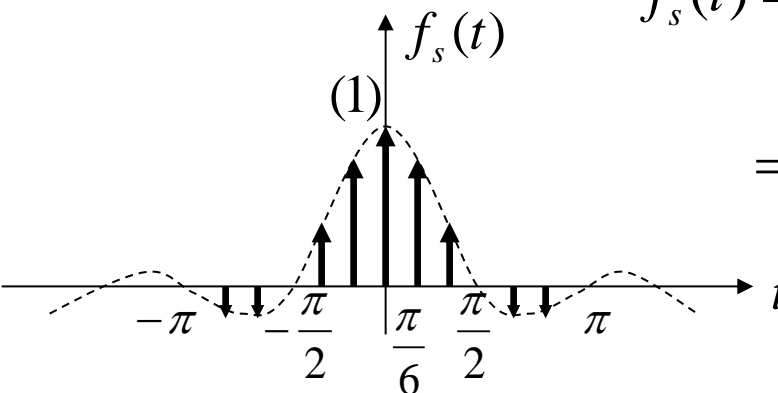


奈奎斯特抽样频率为: $f_{s \min} = 2f_m = 2 \times \frac{2}{2\pi} = \frac{2}{\pi}$ Hz

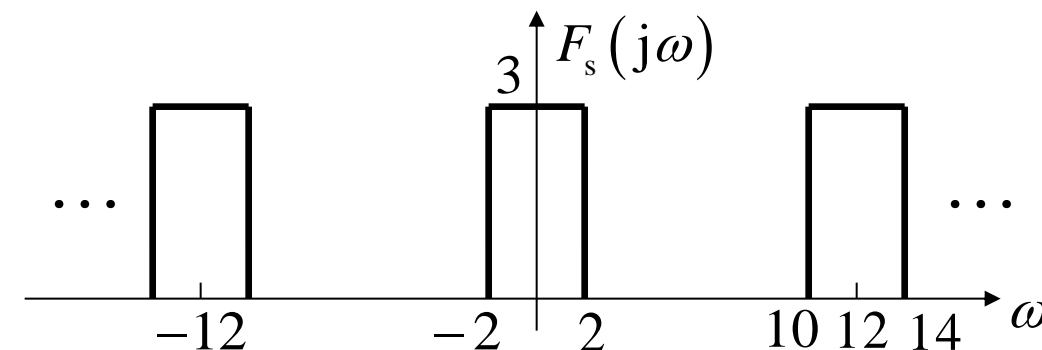
$$(2) \because \omega_s = 6\omega_m = 12 \text{ rad/s} \quad \therefore T_s = \frac{2\pi}{\omega_s} = \frac{2\pi}{12} = \frac{\pi}{6} \text{ s}$$

$$f_s(t) = f(t)\delta_{T_s}(t) = \sum_{n=-\infty}^{\infty} f(nT_s)\delta(t-nT_s)$$

$$= \sum_{n=-\infty}^{\infty} \text{Sa}(2t)|_{t=nT_s} \delta(t-nT_s) = \sum_{n=-\infty}^{\infty} \text{Sa}\left(\frac{n\pi}{3}\right) \delta\left(t-\frac{\pi}{6}n\right)$$

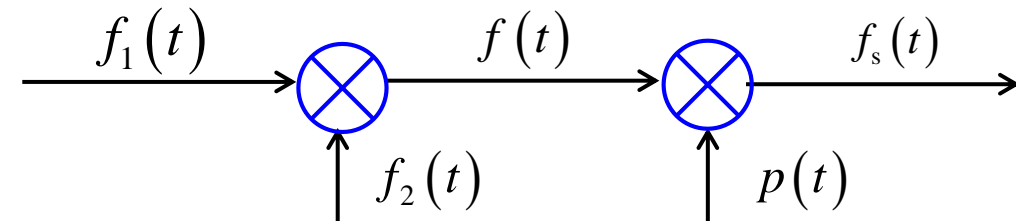


$$(3) \quad F_s(j\omega) = \frac{1}{T_s} \sum_{n=-\infty}^{\infty} F[j(\omega - n\omega_s)] = \frac{6}{\pi} \sum_{n=-\infty}^{\infty} F[j(\omega - 12n)] = 3 \sum_{n=-\infty}^{\infty} [u(\omega + 2 - 12n) - u(\omega - 2 - 12n)]$$



例3-23：如图所示， $f_1(t) = \text{Sa}(1000\pi t)$, $f_2(t) = \text{Sa}(2000\pi t)$, $p(t) = \sum_{n=-\infty}^{\infty} \delta(t - nT)$ 。

$$f(t) = f_1(t) f_2(t), \quad f_s(t) = f(t) p(t).$$



(1) 为从 $f_s(t)$ 无失真恢复 $f(t)$ ，求最大抽样间隔 T_{\max} 。

(2) 当 $T = T_{\max}$ 时，画出 $f_s(t)$ 的幅度谱 $|F_s(\omega)|$ 。

解：(1) 由于

$$f_1(t) = \text{Sa}(1000\pi t) \leftrightarrow 10^{-3} [u(\omega + 1000\pi) - u(\omega - 1000\pi)] = F_1(\omega)$$

$$f_2(t) = \text{Sa}(2000\pi t) \leftrightarrow \frac{1}{2} 10^{-3} [u(\omega + 2000\pi) - u(\omega - 2000\pi)] = F_2(\omega)$$

则 $F(\omega) = \frac{1}{2\pi} F_1(\omega)^* F_1(\omega)$

$$F(\omega) = \frac{10^{-6}}{4\pi} [u(\omega + 1000\pi) - u(\omega - 1000\pi)] * [u(\omega + 2000\pi) - u(\omega - 2000\pi)]$$

$$= \frac{10^{-6}}{4\pi} \{u(\omega) * [\delta(\omega + 1000\pi) - \delta(\omega - 1000\pi)] * u(\omega) * [\delta(\omega + 2000\pi) - \delta(\omega - 2000\pi)]\}$$

$$= \frac{10^{-6}}{4\pi} [u(\omega) * u(\omega)] * [\delta(\omega + 1000\pi) - \delta(\omega - 1000\pi)] * [\delta(\omega + 2000\pi) - \delta(\omega - 2000\pi)]$$

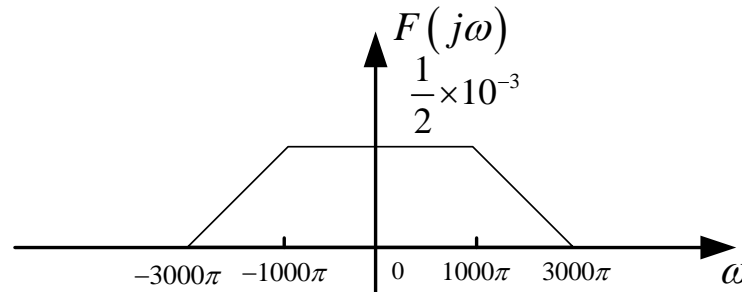
$$= \frac{10^{-6}}{4\pi} \{\omega u(\omega) * [\delta(\omega + 3000\pi) - \delta(\omega - 1000\pi) - \delta(\omega + 1000\pi) + \delta(\omega - 3000\pi)]\}$$

$$= \frac{10^{-6}}{4\pi} [(\omega + 3000\pi)u(\omega + 3000\pi) - (\omega - 1000\pi)u(\omega - 1000\pi) - (\omega + 1000\pi)u(\omega + 1000\pi) + (\omega - 3000\pi)u(\omega - 3000\pi)]$$

$$= \frac{10^{-6}}{4\pi} \{(\omega + 3000\pi)[u(\omega + 3000\pi) - u(\omega + 1000\pi)] + 2000\pi[u(\omega + 1000\pi) - u(\omega - 1000\pi)] - (\omega - 3000\pi)[u(\omega - 1000\pi) - u(\omega - 3000\pi)]\}$$

从图可见 $\omega_m = 3000\pi$

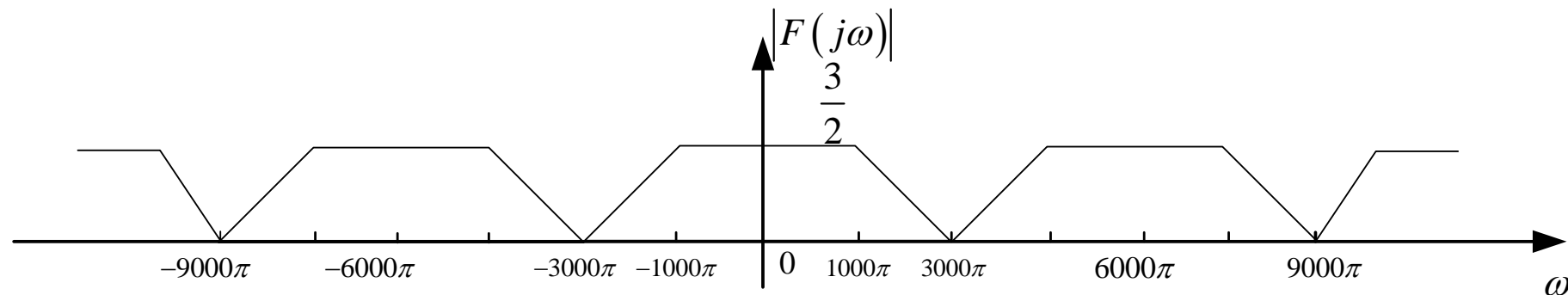
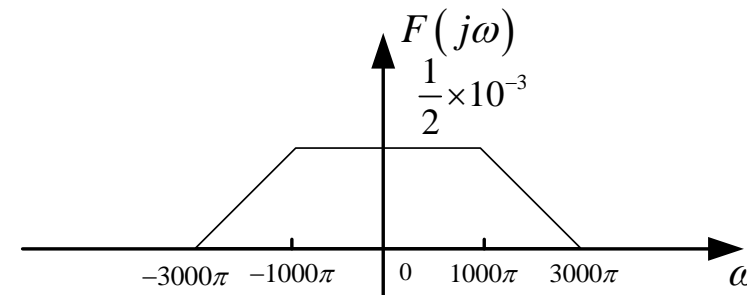
$$T_{\max} = \frac{2\pi}{\omega_{\min}} = \frac{2\pi}{2\omega_m} = \frac{1}{3000} \text{ s}$$



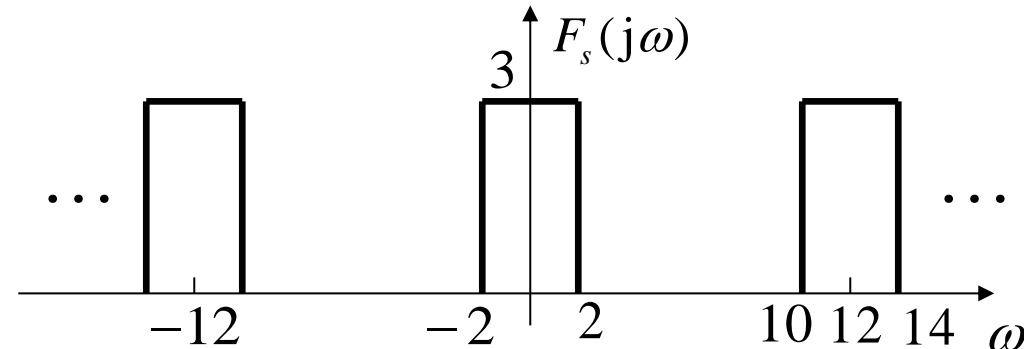
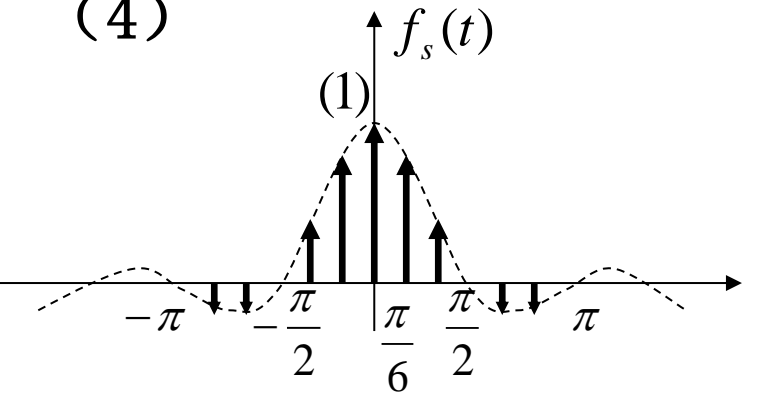
(2)对于冲激抽样，抽样信号的频谱

$$F_s(\omega) = \frac{1}{T_s} \sum_{n=-\infty}^{\infty} F(\omega - n\omega_s)$$

- 当 $T_s = T_{\max}$ 时 $\omega_s = \frac{2\pi}{T_{\max}} = 2\omega_m = 6000\pi$



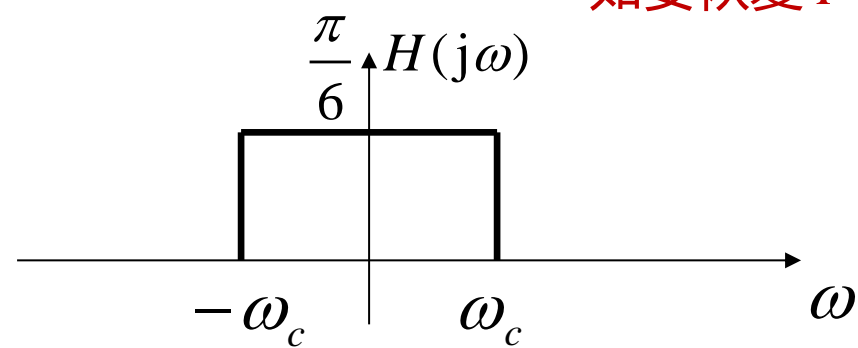
(4)



低通滤波器的截止频率 ω_c 应满足: $\omega_m \leq \omega_c \leq \omega_s - \omega_m$

即 $2 \leq \omega_c \leq 10$

如要恢复 $F(j\omega)$, 低通滤波器幅值 T_s



第四章 拉普拉斯变换

- 4.1 引言
- 4.2 拉普拉斯变换的定义、收敛域
- 4.3 拉普拉斯变换的基本性质
- 4.4 拉普拉斯逆变换
- 4.5 用拉普拉斯逆变换法分析电路、S域原件模型
- 4.6 系统函数（网络函数）
- 4.7 由系统函数零、极点分布决定时域特性
- 4.8 由系统函数零、极点分布决定频域特性
- 4.9 线性系统稳定性
- 4.10 双边拉氏变换
- 4.11 拉普拉斯变换与傅里叶变换的关系

4.1 引言

19世纪末，英国工程师赫维赛德（O. Heaviside, 1850-1925）发明算子法解决电气工程计算中的一些基本问题，但数学上不够严谨。后人在法国数学家、天文学家拉普拉斯（P. S. Laplace, 1749-1825）著作中找到可靠数学依据，重新给予严密的数学定义，为之取名为拉普拉斯变换，简称拉氏变换（Laplace Transform, LT）。



拉普拉斯变换在以下领域是强有力的工具：

- 电路理论研究
- 连续 LTI 系统分析
- 求解 LTI 常系数线性微分方程求解

4.1 引言

→为什么要引入拉氏变换？

◆ 频域分析

以虚指数信号 $e^{j\omega t}$ 作为基本信号，任意信号可分解为众多不同频率的虚指数分量之和，物理意义清楚。

◆ 频域分析的不足之处：

1. 要求 $f(t)$ 满足狄里赫利条件：

① 有些重要信号虽然不满足该条件，但他们仍然存在傅里叶变换，如 $u(t)$ 、 $tu(t)$ 等，但其变换中常带有 $\delta(\omega)$ ，不利于计算和分析；

② 有些信号根本不存在傅里叶变换，如 $e^{at}u(t)$, ($a > 0$)；

2. 频域分析只能确定 $r_{zs}(t)$ ，无法求 $r_{zi}(t)$ ，即不包含系统 0- 初始条件；

3. 求傅里叶反变换也比较麻烦。 $f(t) = \mathcal{F}^{-1}[F(\omega)] = \frac{1}{2\pi} \int_{-\infty}^{\infty} F(\omega) e^{j\omega t} d\omega$

4.1 引言

拉普拉斯变换可以完全避免上述问题，是分析连续 LTI 系统更为有效的工具。

其主要优点体现在以下几个方面：

1. 求解系统响应的步骤更为简化：

- ① 同时求出特解和齐次解
- ② 初始条件自动包含在变换式中

2. 将时域的微分和积分运算转换为复频域的乘法和除法运算

→ 变微分方程为代数方程

3. 某些不满足狄里赫利条件的函数，不能进行傅里叶变换，但可以进行拉氏变换

4. 拉普拉斯变换满足卷积定理，在此基础上建立系统函数的概念，并且可利用系统函数的零点、极点分布来简明、直观地表达系统性能的许多规律

4.2 拉普拉斯变换的定义、收敛域

4.2.1 从傅氏变换到拉氏变换

$f(t)$ 必然是发散的

有些函数不满足绝对可积条件，求解傅里叶变换困难。

为此，可用一衰减因子 $e^{-\sigma t}$ (σ 为实常数) 乘以信号 $f(t)$ ，

适当选取 σ 的值，使乘积信号 $f(t)e^{-\sigma t}$ 当 $t \rightarrow \infty$ 时信号幅度趋近于 0，从而满足绝对可积条件，使 $f(t)e^{-\sigma t}$ 的傅里叶变换存在。

思想：想办法构造满足绝对可积条件的时域函数

4.2.1 从傅氏变换到拉氏变换

为了 满足绝对可积条件，引入一个实指数函数 $e^{-\sigma t}$ 去乘信号 $f(t)$ ，这样就可以解决函数 $f(t)e^{-\sigma t}$ 的绝对可积问题，通常 $e^{-\sigma t}$ 称为衰减因子。

$$\mathcal{F}[f(t)e^{-\sigma t}] = \int_{-\infty}^{+\infty} [f(t)e^{-\sigma t}] e^{-j\omega t} dt = \int_{-\infty}^{+\infty} f(t)e^{-(\sigma+j\omega)t} dt \Rightarrow F(\sigma + j\omega) = \int_{-\infty}^{+\infty} f(t)e^{-(\sigma+j\omega)t} dt$$

$u(t)$	\longrightarrow	$u(t)e^{-\sigma t} \quad (\sigma > 0)$
$e^{at} \quad (a > 0)$	\longrightarrow	$e^{at}e^{-\sigma t} \quad (\sigma > a)$
$\cos \omega_1 t$	\longrightarrow	$e^{-\sigma t} \cos \omega_1 t \quad (\sigma > 0)$

令： $\sigma + j\omega = s$ ，具有频率的量纲，称为复频率。

拉普拉斯变换： $F(s) = \int_{-\infty}^{\infty} f(t)e^{-st} dt \quad f(t) \xleftarrow{\text{LT}} F(s)$

4.2.2 拉氏逆变换 (LT⁻¹)

$$F(\sigma + j\omega) = \int_{-\infty}^{\infty} f(t) e^{-(\sigma+j\omega)t} dt = \int_{-\infty}^{\infty} [f(t) e^{-\sigma t}] e^{-j\omega t} dt$$

$f(t) e^{-\sigma t}$ 是 $F(\sigma + j\omega)$ 的傅里叶逆变换 $f(t) e^{-\sigma t} = \frac{1}{2\pi} \int_{-\infty}^{\infty} F(\sigma + j\omega) e^{j\omega t} d\omega$

两边同乘以 $e^{\sigma t}$

$$f(t) = \frac{1}{2\pi} \int_{-\infty}^{\infty} F(\sigma + j\omega) e^{(\sigma+j\omega)t} d\omega$$

其中: $s = \sigma + j\omega$; 若 σ 取常数, 则 $ds = jd\omega$

积分限: 对 $\omega: \int_{-\infty}^{\infty} \Rightarrow$ 对 $s: \int_{\sigma-j\infty}^{\sigma+j\infty}$

拉普拉斯逆变换: $f(t) = \frac{1}{2\pi j} \int_{\sigma-j\infty}^{\sigma+j\infty} F(s) e^{st} ds$

4.2.3 拉氏变换对

双边拉氏变换

$$\begin{cases} F(s) = \mathcal{L}[f(t)] = \int_{-\infty}^{\infty} f(t) e^{-st} dt \\ f(t) = \mathcal{L}^{-1}[F(s)] = \frac{1}{2\pi j} \int_{\sigma-j\infty}^{\sigma+j\infty} F(s) e^{st} ds \end{cases}$$

正变换

逆变换

记作: $f(t) \leftrightarrow F(s)$, $f(t)$ 称为原函数, $F(s)$ 称为象函数。

考虑到实际信号都是因果信号:

单边拉氏变换

所以

$$F(s) = \int_0^{\infty} f(t) e^{-st} dt$$

采用 0_- 系统, 相应的单边拉氏变换为

$$\begin{cases} F(s) = \mathcal{L}[f(t)] = \int_{0_-}^{\infty} f(t) e^{-st} dt \\ f(t) = \mathcal{L}^{-1}[F(s)] = \frac{1}{2\pi j} \int_{\sigma-j\infty}^{\sigma+j\infty} F(s) e^{st} ds \end{cases}$$

自动包含 0_- 条件

例4-1 已知信号 $x(t) = e^{-\alpha t}u(t)$, 其拉普拉斯变换为 ()

A

$$-\frac{1}{s + \alpha}$$

B

$$\frac{\alpha}{s}$$

C

$$e^{-\alpha s}$$

D

$$\frac{1}{s + \alpha}$$

提交

例4-1: 已知信号 $x(t) = e^{-\alpha t} u(t)$, 求其拉普拉斯变换 $X(s)$ 。

解:由定义

$$\begin{aligned} X(s) &= \int_{-\infty}^{\infty} x(t)e^{-st} dt = \int_{-\infty}^{\infty} e^{-\alpha t} u(t)e^{-st} dt \\ &= \int_0^{\infty} e^{-\alpha t} e^{-st} dt = \int_0^{\infty} e^{-(\alpha+s)t} dt = \int_0^{\infty} e^{-(\alpha+\sigma)t} e^{-j\omega t} dt \end{aligned}$$

当 $\operatorname{Re}\{\alpha+s\}=\alpha+\sigma>0$, 即 $\sigma>-\alpha$, 以上积分可积

$$X(s) = \frac{1}{-(\alpha + s)} e^{-(\alpha+s)t} \Big|_0^\infty = \frac{1}{(\alpha + s)}, \quad \sigma > -\alpha$$

$$e^{-\alpha t} u(t) \xleftarrow{LT} \frac{1}{s + \alpha}, \quad \operatorname{Re}\{s\} > -\alpha$$

从信号分解的角度：

物理上，**傅里叶变换**是把信号 $f(t)$ 分解为无限多个频率为 ω 、复振幅为 $\frac{F(\omega)}{2\pi} d\omega$ 的复指数分量 $e^{j\omega t}$ 的加权和。

拉普拉斯变换则是把信号 $f(t)$ 分解为无限多个复频率为 $s = \sigma + j\omega$ 、复振幅为 $\frac{F(s)}{2\pi j} ds$ 的复指数分量 e^{st} 的加权和。

拉普拉斯变换与傅里叶变换的最大区别：

- (1) 拉普拉斯变换在所谓的**复频域** s ，而傅里叶变换在**频域** ω 。
- (2) 当 $\sigma = 0$ 时， $s = j\omega$ 。傅里叶变换是拉普拉斯变换的一个特例，或称为虚轴上的拉普拉斯变换。

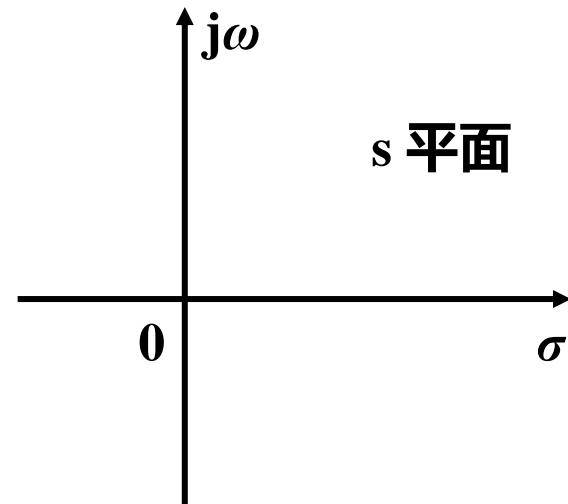
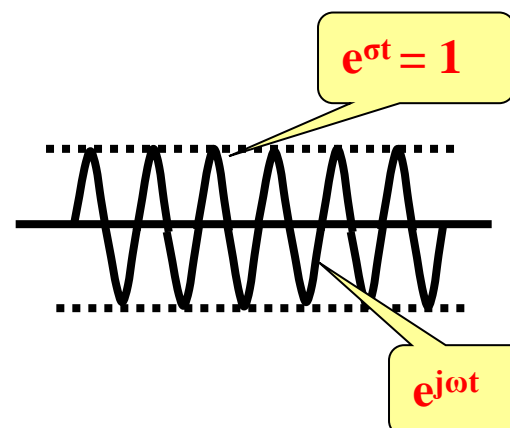
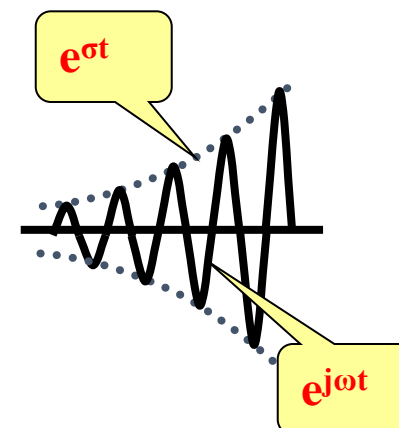
复频域的概念

由于 $s = \sigma + j\omega$ 为复数，所以 $F(s)$ 是定义在复平面上的复函数

复频域是用直角坐标 $s = \sigma + j\omega$ 表示的复数平面，简称 s 平面或连续时间复频域 (s 域)。

s 的实部 σ 反映了指数函数 $e^{st} = e^{\sigma t} e^{j\omega t}$ 的幅度 $e^{\sigma t}$ 变化率

s 的虚部 ω 反映了 $e^{j\omega t}$ 做周期变化的频率



FT:

$$\begin{cases} F(\omega) = \mathcal{F}[f(t)] = \int_{-\infty}^{\infty} f(t) e^{-j\omega t} dt & \text{正变换} \\ f(t) = \mathcal{F}^{-1}[F(\omega)] = \frac{1}{2\pi} \int_{-\infty}^{+\infty} F(\omega) e^{j\omega t} d\omega & \text{逆变换} \end{cases}$$

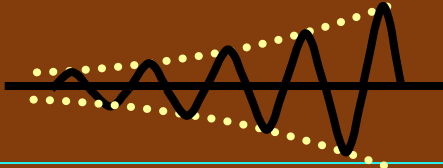
LT:

$$\begin{cases} F(s) = \mathcal{L}[f(t)] = \int_0^{\infty} f(t) e^{-st} dt & \text{正变换} \\ f(t) = \mathcal{L}^{-1}[F(s)] = \frac{1}{2\pi j} \int_{\sigma-j\infty}^{\sigma+j\infty} F(s) e^{st} ds & \text{逆变换} \end{cases}$$

FT: 实频率 ω , 振荡频率

LT: 复频率 s , $s = \sigma + j\omega$, ω 是振荡频率, σ 控制衰减的速度

拉氏变换与傅氏变换表示信号的差别

傅里叶变换	拉普拉斯变换
信号表示成指数 $e^{j\omega t}$ 分量的连续和 基本信号为：等幅的正弦信号 	信号表示成指数 e^{st} 分量的连续和 基本信号为：指数增长的正弦信号 
振幅为 $\frac{ F(\omega) d\omega}{2\pi}$ 无穷小	振幅为 $\frac{ F(s) ds}{2\pi j}$ 无穷小
频率分布于整个 ω 区间	频率分布于整个 s 区间
信号的傅里叶变换反映了不同频率分量的振幅大小与起始相位的值，即信号的频谱。	信号的拉氏变换没有明确的物理意义。
主要应用于信号与系统的频率分析，如调制、滤波、抽样等的频谱分析。	主要应用于微分方程的求解、系统函数及其零极点分析等。

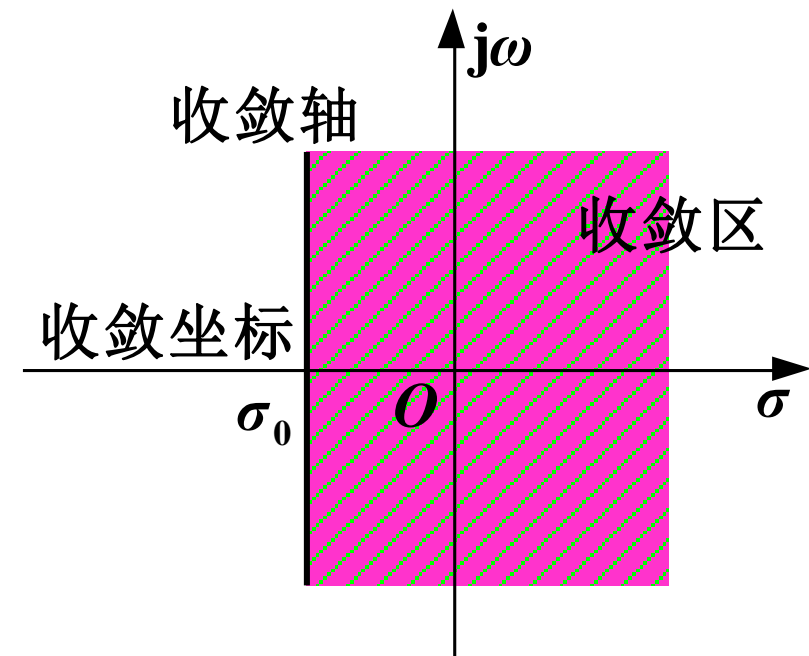
4.2.4 拉普拉斯变换的收敛域

拉普拉斯变换的存在伴随着条件，就是它的收敛域。使信号 $f(t) e^{-\sigma t}$ 满足绝对可积的 σ 的值域，是 $F(s)$ 的收敛域，记为 ROC (region of convergence)。

数学描述：

$$\lim_{t \rightarrow \infty} f(t) e^{-\sigma t} = 0 \quad (\sigma > \sigma_0)$$

图形表示：



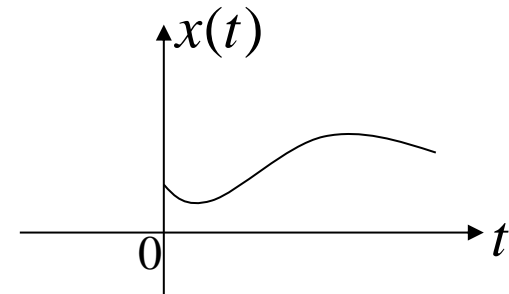
说 明:

1. 满足 $\lim_{t \rightarrow \infty} f(t)e^{-\sigma t} = 0$ ($\sigma > \sigma_0$) 的信号称为**指数阶信号**;
2. 有界的非周期信号的**拉氏变换一定存在**, 收敛域是全部 s 平面;
3. 幂指数信号 $\lim_{t \rightarrow \infty} t^n e^{-\sigma t} = 0$ ($\sigma > 0$) 收敛坐标为原点, 收敛域为 s 右半平面;
4. **指数信号收敛域为 $\sigma > \alpha$** , $\lim_{t \rightarrow \infty} e^{\alpha t} e^{-\sigma t} = 0$ ($\sigma > \alpha$) ;
5. e^{t^2} , te^{t^2} 等信号比指数函数增长还快, 找不到收敛坐标, 为**非指数阶信号**, 无法进行拉氏变换;
6. 一般求函数的单边拉式变换, 可以不标注其收敛范围。

4.2.5 单边拉普拉斯变换

在系统分析时，我们常用的是单边拉普拉斯变换：

$$X(s) = \int_{0^-}^{\infty} x(t)e^{-st} dt$$



因为，实际系统是因果的，信号总是在某个时刻才开始作用于系统，我们可以把这个时刻看作 $t = 0$ ；以上定义式中的积分的下限取 0^- ，**考虑变换对冲激信号也是有效的**；**单边拉氏变换的收敛域是收敛轴的右半平面： $\text{Re}\{s\} > \sigma_0$** ，以后一般不具体标示变换的收敛域。

4.2.6 一些常用函数的拉氏变换 目的：复杂函数的分解，表示成典型信号的组合

(1) 单位阶跃函数

$$\mathcal{L}[u(t)] = \int_0^\infty 1 \cdot e^{-st} dt = \frac{1}{-s} e^{-st} \Big|_0^\infty = \frac{1}{s} \quad (\sigma > 0)$$

(2) 指数函数

$$\mathcal{L}[e^{-\alpha t}] = \int_0^\infty e^{-\alpha t} e^{-st} dt = \frac{e^{-(\alpha+s)t}}{-(\alpha+s)} \Big|_0^\infty = \frac{1}{\alpha+s} \quad (\sigma > -\alpha)$$

(3) 单位冲激信号

$$\mathcal{L}[\delta(t)] = \int_0^\infty \delta(t) \cdot e^{-st} dt = 1 \quad \text{全 } s \text{ 域平面收敛}$$

$$\mathcal{L}[\delta(t-t_0)] = \int_0^\infty \delta(t-t_0) \cdot e^{-st} dt = e^{-st_0} \quad \text{全 } s \text{ 域平面收敛}$$

(4) 幂函数 t^n (n 是正整数)

$$\mathcal{L}[t^n] = \int_0^\infty t^n \cdot e^{-st} dt = \frac{t^n}{-s} e^{-st} \Big|_0^\infty + \frac{n}{s} \int_0^\infty t^{n-1} e^{-st} dt = \frac{n}{s} \int_0^\infty t^{n-1} e^{-st} dt$$

所以 $\mathcal{L}[t^n] = \frac{n}{s} \mathcal{L}[t^{n-1}]$

例如：斜变函数 $t u(t)$

$$n=1 \quad \mathcal{L}[t] = \int_0^\infty t \cdot e^{-st} dt = \frac{1}{-s} \left[t \cdot e^{-st} \Big|_0^\infty - \int_0^\infty e^{-st} dt \right] = -\frac{1}{s} \left[-\frac{1}{-s} e^{-st} \Big|_0^\infty \right] = \frac{1}{s^2}$$

$$n=2 \quad \mathcal{L}[t^2] = \frac{2}{s} \mathcal{L}[t] = \frac{2}{s} \cdot \frac{1}{s^2} = \frac{2}{s^3}$$

$$n=3 \quad \mathcal{L}[t^3] = \frac{3}{s} \mathcal{L}[t^2] = \frac{3}{s} \cdot \frac{2}{s^3} = \frac{6}{s^4} \dots \dots$$

所以 $\mathcal{L}[t^n] = \frac{n!}{s^{n+1}} \quad (\sigma > 0)$

常用信号的拉氏变换 (参考教材p192表格)

时域信号 ($t > 0$)	s 域信号
$u(t)$	$\frac{1}{s}$
$e^{-\alpha t}$	$\frac{1}{s + \alpha}$
$\delta(t)$	1
$\delta(t - t_0)$	e^{-st_0}
t^n	$\frac{n!}{s^{n+1}}$

4.3 拉普拉斯变换的基本性质

主要内容：

线性性质

时域微分

时域积分

延时（时域移位）

s 域平移（频域移位）

尺度变换

初值定理

终值定理

卷积定理

s 域微分

s 域积分

注意：此处所指均为单边拉氏变换的性质，只适用于因果信号，即满足 $f(t)=f(t)u(t)$ 的信号 $f(t)$ 。

4.3 拉普拉斯变换的基本性质

目的：简化拉普拉斯变换或反变换的求解过程。

4.3.1 线性

如有： $f_i(t) \xleftrightarrow{LT} F_i(s)$

则 $f(t) = \sum_{i=1}^N a_i f_i(t) \xleftrightarrow{LT} F(s) = \sum_{i=1}^N a_i F_i(s)$

例4-2：利用线性性质求 $x(t) = e^{-t}u(t) - e^{-2t}u(t)$ 的拉氏变换。

解： $e^{-t}u(t) \xleftrightarrow{LT} \frac{1}{s+1}$ $e^{-2t}u(t) \xleftrightarrow{LT} \frac{1}{s+2}$

所以 $x(t) \xleftrightarrow{LT} \frac{1}{s+1} - \frac{1}{s+2} = \frac{1}{(s+1)(s+2)}$

例4-3：利用拉氏变换的性质，求 $\cos(\omega_0 t) u(t)$ 的拉氏变换。

解：

$$\cos(\omega_0 t) u(t) = \frac{1}{2} \left(e^{j\omega_0 t} + e^{-j\omega_0 t} \right) u(t)$$

$$e^{j\omega_0 t} u(t) \xleftrightarrow{LT} \frac{1}{s - j\omega_0}$$

$$e^{-j\omega_0 t} u(t) \xleftrightarrow{LT} \frac{1}{s + j\omega_0}$$

∴

$$\cos(\omega_0 t) u(t) \xleftrightarrow{LT} \frac{s}{s^2 + \omega_0^2}$$

相同方法可得

$$\sin(\omega_0 t) u(t) \xleftrightarrow{LT} \frac{\omega_0}{s^2 + \omega_0^2}$$

4.3.2 延时性 (时移性)

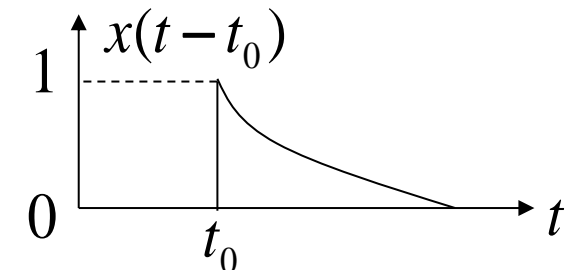
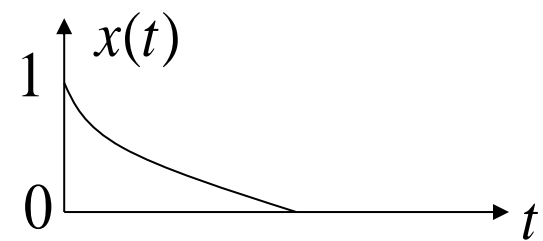
设 $f(t) \xleftrightarrow{LT} F(s)$

则 $f(t - t_0)u(t - t_0) \xleftrightarrow{LT} F(s)e^{-st_0}$, ($t_0 > 0$)

该性质表明：若信号的波形延迟 t_0 ，则它的拉普拉斯变换就乘以 e^{-st_0} 。

注意：在前述单边拉氏变换的定义下，

$e^{-\alpha t}u(t)$ 的延时是 $e^{-\alpha(t-t_0)}u(t-t_0)$



例4-4. 信号 $f(t) = u(t) - u(t - 1)$ 的拉氏变换 $F(s)$ 为 ()

A

$$F(s) = \frac{1 + e^{-s}}{s}$$

B

$$F(s) = \frac{1 - e^{-s}}{s}$$

C

$$F(s) = \frac{1 - s}{s}$$

D

$$F(s) = \frac{1 - s}{e^{-s}}$$

提交

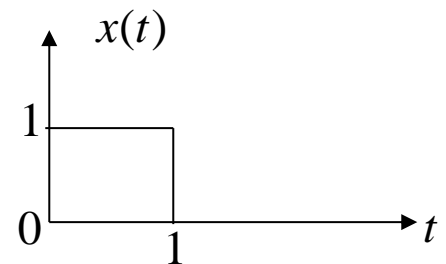
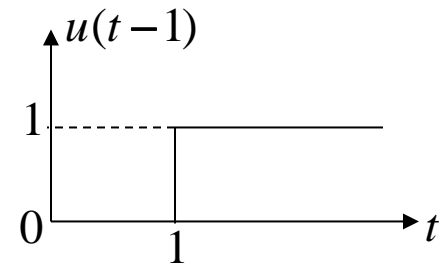
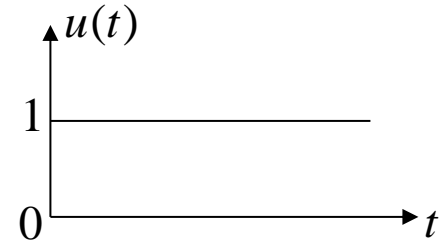
例4-4：求 $x(t) = u(t) - u(t-1)$ 的拉氏变换。

解：

$$u(t) \xleftrightarrow{LT} \frac{1}{s}$$

$$u(t-1) \xleftrightarrow{LT} \frac{1}{s} e^{-s}$$

所以 $x(t) = u(t) - u(t-1) \xleftrightarrow{LT} \frac{1 - e^{-s}}{s}$



4.3.3 s 域平移性 (频移性)

设 $f(t) \xleftrightarrow{LT} F(s)$

时移同号
频移反号

则 $f(t)e^{s_0 t} \xleftrightarrow{LT} F(s - s_0)$

结论：时间信号 $f(t)$ 乘以因子 $e^{s_0 t}$ ，相当于变换域内右移 s_0

例4-6：利用 s 域平移性求 $e^{-\alpha t} u(t)$ 和 $t e^{-\alpha t} u(t)$ 的拉氏变换。

$$u(t) \xleftrightarrow{LT} \frac{1}{s}$$

$$tu(t) \xleftrightarrow{LT} \frac{1}{s^2}$$

$$e^{-\alpha t} u(t) \xleftrightarrow{LT} \frac{1}{s + \alpha}$$

$$t e^{-\alpha t} u(t) \xleftrightarrow{LT} \frac{1}{(s + \alpha)^2}$$

例4-7：利用 s 域平移性求 $e^{-\alpha t} \cos(\omega_0 t) u(t)$ 的拉氏变换。

$$\cos(\omega_0 t) u(t) \xleftrightarrow{LT} \frac{s}{s^2 + \omega_0^2}$$

所以

$$e^{-\alpha t} \cos(\omega_0 t) u(t) \xleftrightarrow{LT} \frac{s + \alpha}{(s + \alpha)^2 + \omega_0^2}$$

同理

$$e^{-\alpha t} \sin(\omega_0 t) u(t) \xleftrightarrow{LT} \frac{\omega_0}{(s + \alpha)^2 + \omega_0^2}$$

4.3.4 时域展缩性 (尺度变换)

若 $f(t) \xleftrightarrow{LT} F(s)$

则 $f(at) \xleftrightarrow{LT} \frac{1}{a} F\left(\frac{s}{a}\right), \quad (a > 0)$

这里常数 a 应为正的，否则信号发生反褶，对于单边拉氏变换，这个性质就没有意义。

例4-8：用时域展缩性求 $e^{-\alpha t} u(t)$ 的拉氏变换。

$$e^{-t} u(t) \xleftrightarrow{LT} \frac{1}{s+1}$$

于是 $e^{-\alpha t} u(t) \xleftrightarrow{LT} \frac{1}{\alpha} \frac{1}{\frac{s}{\alpha} + 1} = \frac{1}{\alpha} \frac{\alpha}{s + \alpha} = \frac{1}{s + \alpha}$

如果有 $f(t)u(t) \xleftrightarrow{LT} F(s)$

既有延时又有时域展缩时, $f(at-b)u(at-b) \xleftrightarrow{LT} ? \quad (a > 0, b > 0)$

先延时, 再做时域展缩, $f(t-b)u(t-b) \xleftrightarrow{LT} F(s)e^{-bs}$

$$f(at-b)u(at-b) \xleftrightarrow{LT} \frac{1}{a} F\left(\frac{s}{a}\right) e^{-\frac{bs}{a}}$$

也可先做时域展缩再延时。

例4-9. 利用拉氏变换的性质, 可求得 $\delta(3t - 2)$ 的拉氏变换为

()

A $\frac{2}{3} e^{-\frac{1}{3}s}$

B $\frac{1}{3} e^{-2s}$

C $\frac{1}{3} e^{-\frac{2}{3}s}$

D $e^{-\frac{2}{3}s}$

提交

例4-9：利用拉氏变换的性质，求解 $\delta(3t - 2)$ 的拉氏变换。

解：

由拉氏变换的时域展缩性 $f(at) \xleftrightarrow{LT} \frac{1}{a} F\left(\frac{s}{a}\right)$ 及 $\delta(t) \xleftrightarrow{LT} 1$ 可知

$$\therefore \delta(3t) \xleftrightarrow{LT} \frac{1}{3}$$

依据拉氏变换的时移性 $f(t - t_0)u(t - t_0) \xleftrightarrow{LT} F(s)e^{-st_0}$ 有：

$$\delta(3t - 2) = \delta\left[3\left(t - \frac{2}{3}\right)\right] \xleftrightarrow{LT} \frac{1}{3} e^{-\frac{2}{3}s}$$